

УДК:550.3:539.893+537.3

## ЭЛЕКТРОСОПРОТИВЛЕНИЕ $\epsilon$ -Fe ПРИ ВЫСОКИХ ДАВЛЕНИЯХ СТУПЕНЧАТОГО УДАРНОГО СЖАТИЯ

© 2023 г. А. М. Молодец<sup>1</sup>, \*, А. А. Гольшев<sup>1</sup>

<sup>1</sup>Институт проблем химической физики РАН, г Черноголовка, Россия

\*E-mail: molodets@icp.ac.ru

Поступила в редакцию 10.07.2022 г.

После доработки 23.10.2022 г.

Принята к публикации 23.11.2022 г.

Проведены *in situ* измерения электросопротивление сжатых и разогретых в процессе ступенчатого ударного нагружения образцов железа с гексагональной плотноупакованной решеткой ( $\epsilon$ -Fe). Построены уравнения состояния  $\epsilon$ -Fe. Выполнено математическое моделирование полученных экспериментальных результатов в рамках гидрокода, опирающегося на разработанные уравнения состояния. Моделирование позволило реконструировать объемно-температурную зависимость удельного электросопротивления  $\epsilon$ -Fe при давлениях  $\approx$  20–70 ГПа и температурах  $\approx$  750–950 К. Выполнены расчеты объемно-температурной зависимости коэффициента теплопроводности  $\epsilon$ -Fe с использованием закона Видемана–Франца. Полученные результаты по электро- и теплопроводности ударно сжатого и разогретого  $\epsilon$ -Fe сопоставлены с литературными экспериментальными и теоретическими данными для железа и кремнистого железа.

**Ключевые слова:** железо, электропроводность, теплопроводность, высокие давления, уравнения состояния, фазовая диаграмма, ударные волны.

**DOI:** 10.31857/S0002333723040087, **EDN:** TLSYVS

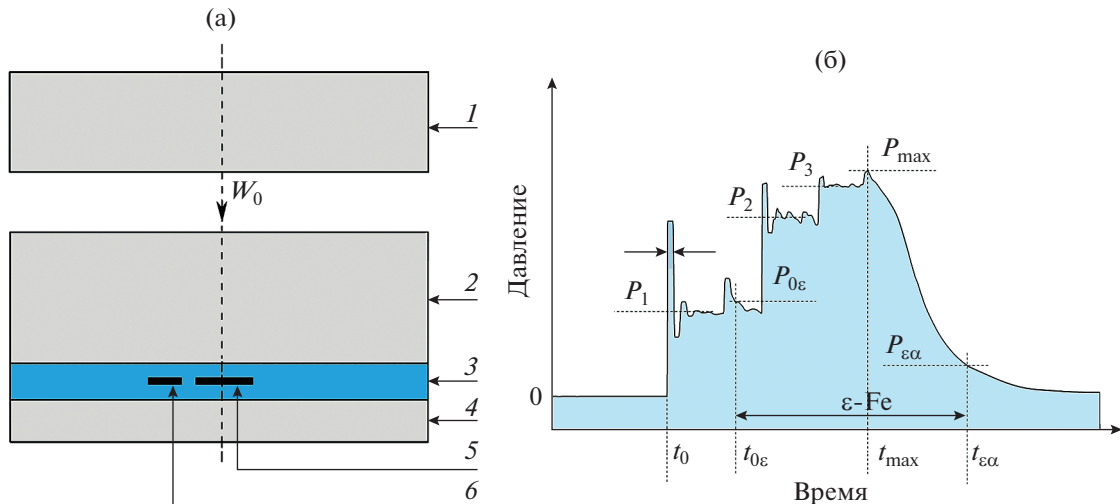
### ВВЕДЕНИЕ

Сейсмологические наблюдения и теплофизические свойства геофизических материалов при высоких давлениях и температурах ( $P$ - $T$ ) свидетельствуют в пользу того, что внутренние ядра Земли в основном состоят из железного сплава, содержащего  $\approx$  85 % железа,  $\approx$  5 % никеля и  $\approx$  10 % некоторых легких элементов – кремния, углерода и др. Поэтому понимание теплового состояния ядра, а также генерации и эволюции магнитного поля Земли во многом зависит от достоверности сведений об электрофизических свойствах железных композиций и в первую очередь чистого железа (см. [Жарков, 2012; Hirose et al., 2021; Zhang et al., 2022] и ссылки в них).

Значения давления и температуры глубинных слоев Земли составляют сотни гигапаскалей и тысячи градусов и на фазовой диаграмме железа располагаются в области существования сжатой и разогретой  $\epsilon$ -Fe фазы железа с гексагональной плотноупакованной (ГПУ) решеткой. В связи с этим исследованию разнообразных свойств сжатого и разогретого  $\epsilon$ -Fe железа, в том числе его электрофизических свойств, при высоких давлениях и температурах посвящена обширная научная литература.

Зависимость удельного электросопротивления  $\epsilon$ -Fe железа  $\rho = \rho(P, T)$  от давления  $P$  и температуры  $T$  в диапазоне давлений до 200 ГПа и температур до 3000 К измерялась как в условиях гидростатического сжатия, так и в условиях ударно-волнового нагружения. Большинство измерений электропроводности разогретого  $\epsilon$ -Fe железа выполнено в статических условиях гидростатического сжатия алмазных наковален с внешним лазерным подогревом (см. [Seagle et al., 2013; Gomi et al., 2013; Zhang et al., 2020; 2022] и ссылки в них).

Электросопротивление *in situ* ударно-сжатого и ударно-разогретого  $\epsilon$ -Fe железа исследовалось в работах [Keeler, Mitchel 1969; Bi et al., 2002]. Ударно-волновые данные могут дополнить гидростатические данные по ряду позиций. Во-первых, при микросекундных временах ударно-волнового нагружения уменьшаются паразитные эффекты, связанные с возможными (см., например, [Basu et al., 2020; Yang et al., 2022]) химическими реакциями горячего железа с окружающими материалами измерительных ячеек статических прессов. Кроме этого, при плоском одномерном ударно-волновом сжатии надежно учитывается изменение геометрических размеров образцов, необходимое для перехода к удельным величинам электросопротивления. Наконец, при одних и тех



**Рис. 1.** Генератор ступенчатого ударного нагружения (а); профиль (зависимость от времени) давления в исследуемом образце при измерении его электросопротивления (б); (а): 1 – дискообразный стальной (сталь 12Х18Н10Т) ударник толщиной 3.5 мм, разогнанный продуктами взрыва до скорости  $W_0 = 2.6(1)$  км/с; 2 – стальная пластина толщиной 3.45(1) мм; 3 – изолирующий материал (тефлоновые пленки, склеенные вакуумной смазкой) толщиной  $h_0 = 2.45(1)$  мм; 4 – тонкая стальная пластина толщиной 1.85 мм; 5 – исследуемый железный образец; 6 – чувствительный элемент манганинового датчика давления (5 и 6 расположены в одной плоскости); (б) – пояснение обозначений в тексте.

же температурах и давлениях не исключено различие электрофизических свойств образца, разогреваемого ударным сжатием и сжатого образца статически разогретого.

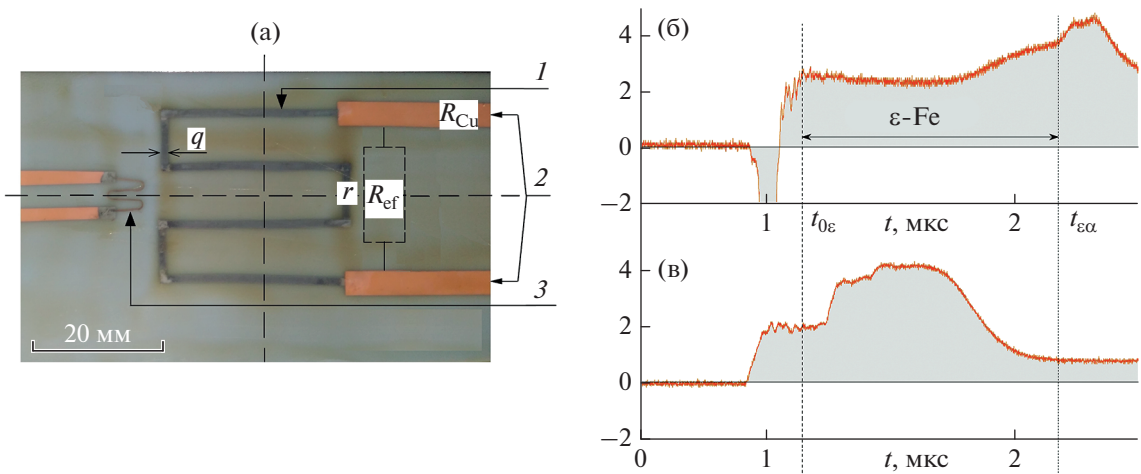
Измерения электросопротивления образцов при плоском ударно-волновом нагружении чаще всего производятся с использованием фольговых образцов в окружении изоляционного материала с отличающейся динамической жесткостью. Поэтому ударно-волновое сжатие образцов происходит в режиме так называемого ступенчатого ударного сжатия, в котором осуществляется непрерывное сжатие лагранжевой частицы материала последовательными ударными волнами (см. [Набатов и др., 1979; Агадуров, 1986] и ссылки в них).

Применение ступенчатого ударного сжатия подобно постепенному динамическому сжатию (ramp compression [Remington et al., 2015]) обеспечивает выбор обширных областей фазовой диаграммы железа в окрестности ударной адиабаты однократного сжатия. Наряду с этим конструктивные возможности схемы ступенчатого ударного сжатия позволяют целенаправленно варьировать параметры режима нагружения в нужных пределах. Так, в тонком образце при определенном соотношении толщин образца и динамических жесткостей материалов экспериментальной сборки реализуется ступенчато-циклический режим сжатия с высокочастотной составляющей давления на каждой ступени [Молодец и др., 2021]. В рамках этой схемы удается измерить электросопротивление образца в протяженной области давлений и температур в единственном

ударно-волновом эксперименте, что делает его предпочтительным в задачах детализации электрофизических свойств материалов в условиях сильного динамического сжатия.

Физическая интерпретация экспериментальных результатов по электропроводности ударно-сжатых образцов требует знания уравнения состояния и возможности моделирования электрофизических и термодинамических свойств исследуемого материала в условиях проведенного эксперимента. Современные компьютеры и вычислительные методы позволяют рассчитывать термодинамические и электрофизические свойства сжатого железа из первых принципов (см. [Vocadlo, 2007] и ссылки на нее). Однако результаты сложных первоосновных расчетов имеют вид цифровых массивов, которые отделены от исходных физических предпосылок нетривиальными численными процедурами. В такой ситуации оптимальным вариантом является полузэмпирическое описание электрофизических и термодинамических свойств железа (см., например, [Seagle et al., 2013; Bi et al., 2002]), которое оказывается удобным для использования в гидрокодах и одновременно предоставляет точное описание свойств  $\epsilon$ -железа за счет набора свободных параметров в физически обоснованных математических соотношениях.

В данной статье представлены результаты измерения электросопротивления образцов  $\epsilon$ -Fe при ступенчато-циклическом ударном сжатии до давлений 70 ГПа, а также модифицированное описание полученных экспериментальных ре-



**Рис. 2.** Чувствительные элементы лентообразных датчиков (а) и их первичные сигналы (б), (в): (а) – измерительная ячейка датчика магнитного превращения; 1 – чувствительный элемент используемого датчика толщиной  $h_0 = 60 \text{ мкм}$  и шириной  $q = 1 \text{ мм}$ ; 2 – медные тоководы толщиной 30 мкм; 3 – манганиновый датчик давления толщиной 60 мкм; (б) и (в) – первичные сигналы датчиков соответственно 1 и 3 в виде профилей электрического напряжения  $U(t)$ .

зультатов на основе полуэмпирических моделей электро- и теплофизического поведения железа из работы [Seagle et al., 2013; Молодец, Голышев, 2021].

### ОБРАЗЦЫ, СТУПЕНЧАТО-ЦИКЛИЧЕСКОЕ УДАРНОЕ НАГРУЖЕНИЕ И РЕГИСТРАЦИЯ ЭЛЕКТРОСОПРОТИВЛЕНИЯ УДАРНО-СЖАТЫХ ОБРАЗЦОВ ЖЕЛЕЗА

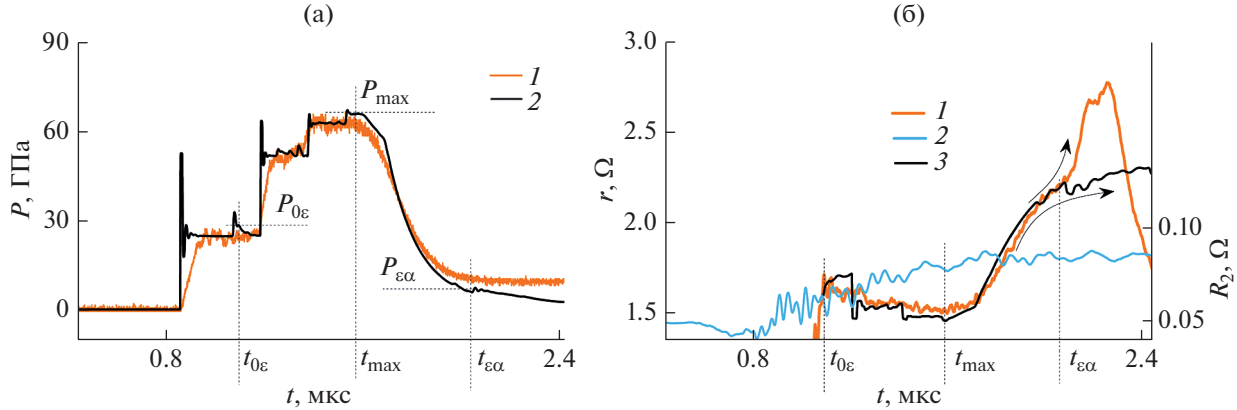
Исследуемые образцы изготавливались из фольги железа АРМКО. Согласно ГОСТ 11036-75 железо АРМКО содержит примеси в массовых процентах не более, чем 0.035% C, 0.3% Mn, 0.3% Si, 0.020% P, 0.030% S, 0.3% Cu. Измеренные удельное электросопротивление и плотность образцов составляли соответственно величины 10.05(5)  $\mu\Omega\cdot\text{см}$  и 7.85(3)  $\text{г}/\text{см}^3$ , характерные для  $\alpha$ -Fe фазы (железа с объемно-центрированной кубической решеткой (ОЦК)) при комнатной температуре и атмосферном давлении. На рис. 1а представлена схема используемого генератора ступенчатого ударного нагружения в согласии с [Молодец и др., 2021]. Здесь плоский металлический ударник 1 соударяется со слоистой мишенью 2–4, состоящей из двух стальных пластин 2 и 4 и зашатого между ними слоя-изолятора (тефлона) 3. После соударения в пластине 2 формируется однократный ударно-волновой импульс, фронт которого в слое 3 приобретает ступенчатую форму в виде увеличения давления  $P_1$ ,  $P_2$ ,  $P_3$  (см. рис. 1б). Эта трансформация обусловливается реверберацией волн сжатия в “мягком” тефлоне 3 между двумя “жесткими” стальными пластинами 2 и 4.

Исследуемый лентообразный железный образец 5 и лентообразный манганиновый датчик 6

(фотографии манганинового датчика и образца приведены на рис. 2а) располагаются в середине слоя 3. Поочередный приход каждой ступени  $P_1$ ,  $P_2$ ,  $P_3$  на датчики 5 и 6, также стимулирует в них реверберации затухающих волн сжатия и разгрузки. Этот процесс иллюстрируется в виде высокочастотной циклической составляющей давления на фронтах ступеней  $P_1$ ,  $P_2$ ,  $P_3$  на рис. 1б. Фаза ступенчатого ударного сжатия заканчивается достижением в момент  $t_{\max}$  максимального давления  $P_{\max}$ , после чего начинается плавное уменьшение давления вплоть до нулевых значений, обусловленных в основном приходом волны разгрузки со свободной поверхности тонкой пластины 4. Отметим, что полупериод циклической составляющей  $\tau_0$  на фронтах ступеней  $P_1$ ,  $P_2$ ,  $P_3$  составляет величину порядка  $\tau_0 \sim h_0/C_0$ , где  $h_0$  – толщина датчика,  $C_0$  – скорость звука в материале датчика, что при типичных для металла значениях  $h_0 \sim 0.05 \text{ мм}$  и  $C_0 \approx 5 \text{ мм}/\text{мкс}$  дает  $\tau_0 \approx 0.01 \text{ мкс}$ .

Таким образом, используемый генератор ступенчатого ударного нагружения стимулирует в железном образце 5 специфический режим нагружения, состоящий из “ступенчато-циклической” фазы сжатия до давлений  $P_{\max}$  и последующей фазы плавного уменьшения давления.

Измерение электросопротивления образца 5, состоящего из ударно-сжатого  $\epsilon$ -Fe железа, осуществляется при условии, что величина  $P_{\max}$  превышает значения  $P_{0e}$  и  $P_{ee}$ , где соответственно  $P_{0e}$  – давление завершения прямого и  $P_{ee}$  – давление начала обратного полиморфных переходов  $\alpha$ -Fe фазы в  $\epsilon$ -Fe фазу. Действительно, в этом случае в процессе ударно-волнового сжатия железного образца можно выделить интервал  $t_{0e} < t < t_{ee}$  су-



**Рис. 3.** Экспериментальные и модельные профили давления и электросопротивления. (а): 1 – профиль давления, полученный в результате обработки показаний манганинового датчика, 2 – расчетный профиль давления в железном образце (смысль обозначений  $t_{0\epsilon}$ ,  $t_{max}$ ,  $t_{\epsilon\alpha}$ ,  $P_{0\epsilon}$ ,  $P_{max}$ ,  $P_{\epsilon\alpha}$  тот же, что и на рис. 1б); (б): 1 – скорректированный профиль электросопротивления  $r = r(t)$  исследуемого  $\epsilon$ -Fe железного образца; 2 – профиль электросопротивления измерительной ячейки рис. 2а, в которой железный образец 1 заменен медным аналогом; 3 – расчетный профиль  $r = r(t)$  электросопротивления в  $\epsilon$ -Fe железном образце (левая ордината  $r$  для 1 и 3, правая  $R_2$  – для 2).

ществования  $\epsilon$ -Fe железа, как это схематически показано на рис. 1б.

Определение интервала  $t_{0\epsilon} < t < t_{\epsilon\alpha}$  и измерение профиля электросопротивления  $R(t)$  железного образца осуществлялось с использованием измерительной ячейки из работы [Молодец и др., 2021], фотография которой, как упоминалось, представлена на рис. 2а. Здесь в процессе ступенчатого ударного нагружения через железный образец 1 и манганиновый датчик 3 пропускаются токи известной амплитуды, что позволяет по измеренному падению напряжения  $U(t)$  определить изменение их электросопротивлений  $R(t)$ .

Результат единичного эксперимента показан на рис. 2б и 2в в виде первичных профилей  $U(t)$  ( $t$  – время) от датчиков 1 и 3 соответственно. При этом согласно работе [Молодец et al., 2021] осциллограмма датчика 1 на рис. 2б содержит сигналы о полиморфном превращении. Эти сигналы возникают в виде отрицательного отброса в области  $t_{0\epsilon}$  и в виде положительного отброса в момент  $t_{\epsilon\alpha}$ . Отметим, что осциллограмма 1 на рис. 2б является одной из трех совпадающих в пределах 3% осциллограмм в трех идентичных экспериментах. Таким образом, на осциллограммах рис. 2б оказывается возможным выделить интервал времени  $t_{0\epsilon} < t < t_{\epsilon\alpha}$  существования  $\epsilon$ -Fe фазы для определения первичного профиля  $R_1 = R_1(t)$  электросопротивления  $\epsilon$ -Fe железного образца в выполненных ударно-волновых экспериментах.

Манганиновый датчик 3 имеет такую же толщину и располагается в одной и той же плоскости, что и датчик 1. Поэтому его электросопротивление изменяется синхронно с изменением электросопротивления образца, а первичный

сигнал  $U(t)$  манганинового датчика на рис. 2в, будучи пересчитанным в давление, практически совпадает с амплитудами ступеней ударного сжатия и разгрузки в образце 1. На рис. 3а цифровой 1 обозначен профиль  $P(t)$  в типичном эксперименте.

Вместе с тем следует отметить, что на экспериментальном профиле 1 отсутствует высокочастотная циклическая составляющая на ступенях давления. Это несоответствие может быть обусловлено двумя причинами. Первая причина – это ограниченные частотные характеристики манганиновой методики, которые не позволяют регистрировать сигналы длительностью  $\tau_0 \approx 0.01$  мкс. Наряду с этим, определенный вклад в уменьшение первичного сигнала манганинового датчика может вносить и составляющая температурной зависимости электросопротивления манганина. В этой связи экспериментальный график давления 1 на рис. 3а используется только для оценки давления на плато ступеней профиля  $P(t)$ , а также в качестве отметчика времени прихода ударно-волновых возмущений в плоскость расположения датчиков.

Что же касается железного образца, то в дальнейшем профиль давления в образце рассчитывался в рамках гидрокода, использующего разработанные уравнения состояния, представленные ниже. Рассчитанный профиль железного образца показан графиком 2 на рис. 3а, где  $P_{max} = 67$  ГПа. Как видно расчетный профиль 2 содержит все особенности схематического профиля давления рис. 1б.

Таким образом, используемая методика позволяет выделить интервал времени существования  $\epsilon$ -Fe для изучения его электрофизических

свойств в условиях высоких давлений ступенчато-циклической фазы сжатия до давлений  $P_{\max}$  и последующей плавной разгрузки.

### УЧЕТ ОСЛОЖНЯЮЩИХ ЭФФЕКТОВ ПРИ ИЗМЕРЕНИИ ЭЛЕКТРОСОПРОТИВЛЕНИЯ УДАРНО-СЖИМАЕМЫХ ЖЕЛЕЗНЫХ ОБРАЗЦОВ

Заметим, что вышеописанная методика содержит ряд особенностей, осложняющих анализ результатов измерений. Действительно, при высоких давлениях ударного сжатия изолятор может терять свои изоляционные свойства и в той или иной мере шунтировать образец. Один из способов уменьшить эффект шунтирования железного образца применен в работе [Bi et al., 2002], где использован стойкий изолятор из корунда. В нашей работе шунтирование электросопротивления  $r$  железного образца изоляционной ТВС средой заранее имело место. Во-вторых, измеренное электросопротивление образца по используемой двухточечной схеме содержит “паразитное” электросопротивление медных выводов  $R_{\text{Cu}}$ .

Учет этих обеих поправок производился следующим образом. В эксперименте с железным образцом первичный профиль  $R_1 = R_1(t)$ , полученный пересчетом осциллограммы  $U(t)$ , приравнивался величине  $R_1 = 2R_{\text{Cu}} + rR_{\text{ef}}/(r + R_{\text{ef}})$ . В этом выражении смысл слагаемых и сомножителей поясняется на рис. 2а:  $R_{\text{Cu}}$  – “паразитное” электросопротивление одного медного токовода,  $r$  – электросопротивление железного образца,  $R_{\text{ef}}$  – эффективное электросопротивление изоляционной ТВС среды, подключенное параллельно к  $r$ . Затем привлекались результаты идентичного эксперимента, в котором железный образец, заменился медной лентой, имеющей электросопротивление  $r_c$ . Соответственно, в эксперименте с медной лентой измеренный профиль  $R_2 = R_2(t)$  приравнивался величине  $R_2 = 2R_{\text{Cu}} + r_cR_{\text{ef}}/(r_c + R_{\text{ef}})$ . После исключения электросопротивления медных выводов  $R_{\text{Cu}}$  из двух выражений для  $R_1$  и  $R_2$ , можно записать:

$$r = R_{\text{ef}} \left( \Delta R + \frac{r_c R_{\text{ef}}}{r_c + R_{\text{ef}}} \right) \left( R_{\text{ef}} - \left( \Delta R + \frac{r_c R_{\text{ef}}}{r_c + R_{\text{ef}}} \right) \right)^{-1},$$

где  $\Delta R = R_1 - R_2$ .

Заметим, что полученное выражение для  $r$  можно упростить. Действительно, согласно работе [Голышев, Молодец, 2013] зависимость эффективного электросопротивления изоляционной ТВС среды  $R_{\text{ef}}$  от давления  $P$  может быть представлено в виде  $R_{\text{ef}} = 4.38P^{47.07/P}$ , где  $R_{\text{ef}}$  и  $P$  имеют размерности соответственно Ом и ГПа. При максимальных давлениях  $\approx 70$  ГПа, реализуемых в

проведенных экспериментах, эффективное электросопротивление изоляции составляло  $R_{\text{ef}} \approx 75$  Ом. Наряду с этим эксперименты с железным образцом и с медной лентой свидетельствуют, что значения  $R_2 \ll R_1$  и  $R_2 < 0.1$  Ом (см. профиль 2 на рис. 3б). Поскольку очевидно, что  $r_c < R_2$ , то в целом  $r_c \ll R_{\text{ef}}$ ,  $r_c \ll \Delta R$  и, следовательно,

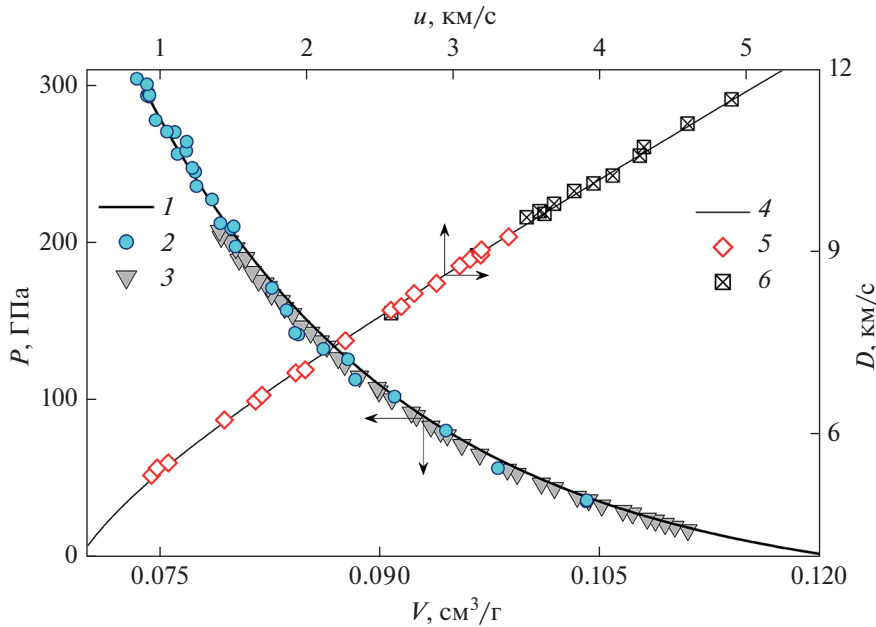
$$r \equiv \frac{R_{\text{ef}} \Delta R}{R_{\text{ef}} - \Delta R}. \quad (1)$$

Скорректированный в соответствии с (1) профиль электросопротивления  $r = r(t)$  исследуемого  $\epsilon$ -Fe образца показан на рис. 3б графиком 1.

Отметим также, что в качестве источника тока в работе [Молодец и др., 2021] используется конденсатор емкостью  $C = 1000$  мкФ, разряжающийся через сопротивление  $R \approx 100$  Ом. Поэтому фактически через образец протекает переменный ток с частотой порядка  $\omega \sim 2\pi/(RC)$ . Оценим величину скин-эффекта для этой частоты в проведенных экспериментах. Поскольку толщина  $h_0 = 60$  мкм железного образца 1 значительно меньше его ширины  $q = 1$  мм (см. рис. 2а), то образец можно рассматривать как пластину и применить к нему хорошо известную формулу для глубины  $d = (0.5\omega\mu_0/\rho)^{-1/2}$  проникновения тока в плоском слое. Здесь:  $\mu$  – магнитная проницаемость вещества образца;  $\mu_0$  – магнитная постоянная;  $\rho$  – удельное электросопротивление. Воспользовавшись характерными значениями  $\mu \approx 5000$  и  $\rho \approx 10$  мкОм · см для железа, получим оценку  $d \approx 700$  мкм. Таким образом, в проведенных экспериментах имело место соотношение  $d \gg h_0$ , что означает малость скин-эффекта с практическим постоянной плотностью тока по сечению исследуемого железного образца.

Наконец оценим еще один фактор возможных искажений результатов в проведенных экспериментах по измерению электропроводности образца в окружении тефлоновой изоляции. Вообще говоря, не исключена деструкция ударно-сжатого тефлонового изолятора с выделением фтора и последующего образования пленки фторида железа на поверхности железного образца. Однако оценка толщины пленки  $\delta$  по формуле  $\delta^2 \sim Dt_d$  при величине коэффициента диффузии  $D \sim 10-12$  м<sup>2</sup>/с за микросекундные времена  $t_d$  ударно-волнового эксперимента составляет тысячные доли микрона. Малость величины  $\delta$  по сравнению с толщиной  $h_0$  исследуемых образцов позволяет пренебречь соответствующим возможным вкладом в измеряемое электросопротивление  $r = r(t)$ .

Как отмечалось во ВВЕДЕНИИ, физическая интерпретация экспериментальных результатов в форме профилей электросопротивления  $r = r(t)$  (1) требует знания уравнения состояния  $\epsilon$ -Fe фа-



**Рис. 4.** Расчетные и экспериментальные результаты ударного и статического сжатия  $\epsilon$ -Fe фазы железа: 1 – расчетная комнатная изотерма в координатах давление  $P$  – объем  $V$ ; 2 и 3 – экспериментальные комнатные изотермы соответственно из работ [Mao et al., 1990; Dewaele et al., 2006]; 4 – расчетная ударная адиабата однократного сжатия в координатах скорость ударной волны  $D$  – массовая скорость  $u$ ; 5 – уточненные экспериментальные данные взрывных экспериментов (см. [Brown et al., 2000]), 6 – экспериментальная ударная адиабата, определенная с использованием двухступенчатой легкогазовой пушки соответственно [Brown et al., 2000].

зы железа и возможности моделирования электрофизических и термодинамических свойств исследуемого материала в условиях проведенного эксперимента. Уравнения состояния  $\epsilon$ -Fe фазы железа и моделирование полученных экспериментальных данных представлено в нижеследующих двух разделах статьи.

#### УРАВНЕНИЯ СОСТОЯНИЯ $\epsilon$ -Fe ЖЕЛЕЗА ПРИ ВЫСОКИХ ДАВЛЕНИЯХ И ТЕМПЕРАТУРАХ

Термодинамическое состояние  $\epsilon$ -Fe фазы железа рассчитывалось с использованием уравнения состояния (УРС)  $\alpha$ -Fe фазы из работы [Молодец, Голышев, 2021] и специально построенного для целей данной работы УРС  $\epsilon$ -Fe фазы. Уравнения состояния находились с помощью частных производных полуэмпирического выражения для свободной энергии всесторонне сжатого изотропного твердого тела  $F = F(V, T)$ . Термическое уравнение состояния (зависимость давления  $P$  от объема и температуры  $T$ ) определяется частной производной свободной энергии по объему  $P = -\partial F / \partial V$ . Калорическое уравнение состояния (зависимость внутренней энергии  $E$  от объема и температуры) определяется частной производной свободной энергии по температуре  $E = F - T(\partial F / \partial T)$ . Техника построения УРС и формульный вид используемых базовых выражений для свободной энергии в виде:

$$F = 3R \left[ \frac{\Theta}{2} + T \ln \left( 1 - \exp \left( -\frac{\Theta}{2} \right) \right) \right] + E_x + E_m, \quad (2)$$

где:  $R$  – удельная газовая постоянная, а ключевые функции  $\Theta = \Theta(V)$  – характеристическая температура Эйнштейна и  $E_x = E_x(V)$  – потенциальная энергия – аналогичны таковым из работы [Молодец и др., 2017] (см. также [Молодец, 2022]),  $E_m$  – разность между потенциальными энергиями  $\alpha$ -Fe и  $\epsilon$ -Fe фазами железа. Так, выражение для  $\Theta = \Theta(V)$  имеет вид:

$$\Theta = \Theta_0 \left( \frac{v_0 - V}{v_0 - V_0} \right)^2 \left( \frac{V_0}{V} \right)^{2/3}. \quad (3)$$

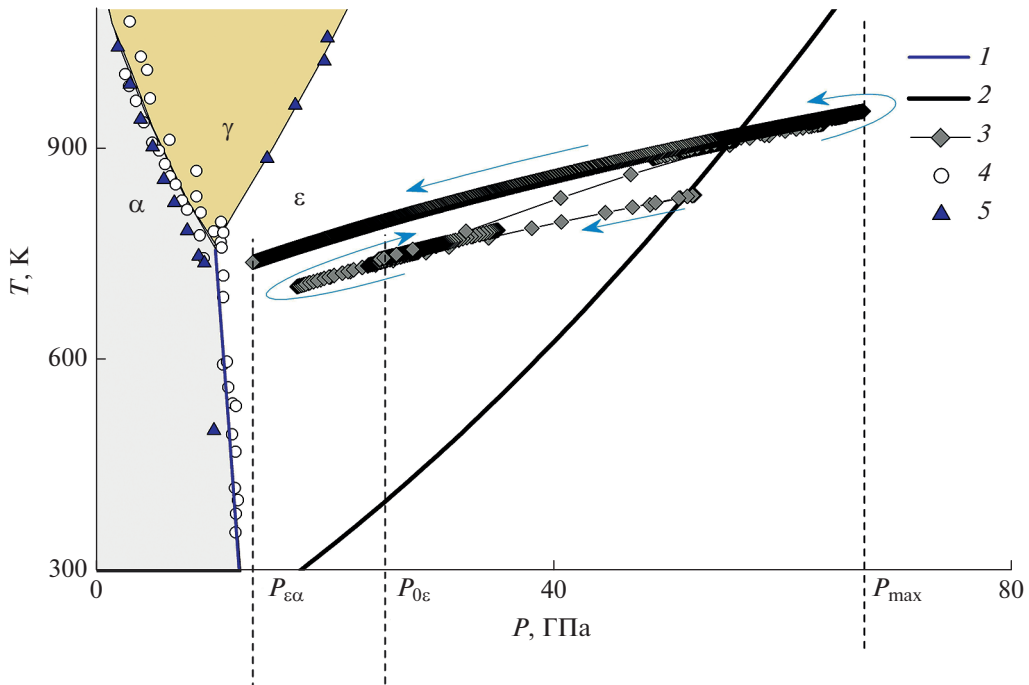
В (3) параметр  $v_0$ , имеющий смысл характеристического объема, определяется соотношением:

$$v_0 = V_0 \left( \frac{3\gamma_0 + 4}{3\gamma_0 - 2} \right), \quad (4)$$

где  $\gamma_0 = \gamma_0(V_0, T_0)$  термодинамический параметр Грюнайзена при начальном удельном объеме  $V_0$ , начальной комнатной температуре  $T_0 = 298.15$  К и начальном атмосферном давлении  $P_0$ . Соответственно параметр  $\Theta_0$  представляет собой начальное значение характеристической температуры  $\Theta_0 = \Theta(V_0)$ .

Выражение для  $E_x = E_x(V)$  имеет вид:

$$E_x = -v_x (C_1 H_x + C_2 x) + C_3, \quad (5)$$



**Рис. 5.** Исследованная область на фазовой диаграмме железа в координатах давление  $P$  – температура  $T$ : 1 – авторский расчет линии равновесия между  $\alpha$ -железом и  $\epsilon$ -железом; 2 – расчетная температура вдоль ударной адиабаты  $\epsilon$ -Fe фазы железа; 3 – расчетная фазовая траектория ступенчатого ударного нагружения  $\epsilon$ -Fe фазы в проведенных экспериментах (стрелки указывают последовательность состояний во времени); 4 и 5 – литературные экспериментальные точки линии равновесия между фазами железа, взятыми из работ [Johnson, 1962; Kerley, 1993]; смысл обозначений  $P_{\alpha\epsilon}$ ,  $P_{0\epsilon}$  и  $P_{\max}$  тот же, что и на рис. 3а.

$$H_x = 9x^3 \left( \frac{1}{10}x^{-1} + 2 + \frac{3}{2}x - \frac{1}{7}x^2 + \frac{1}{70}x^3 \right), \quad (6)$$

$$x = \frac{V}{v_x}$$

В таблице приведены параметры свободной энергии (2) для  $\alpha$ -Fe и для  $\epsilon$ -Fe фаз железа, используемые в данной работе.

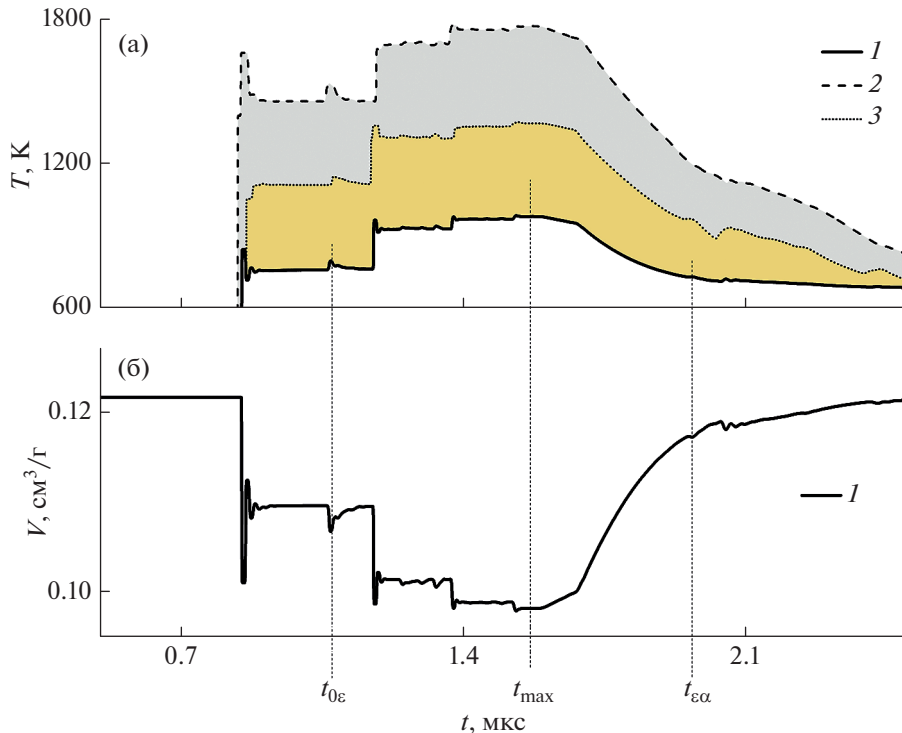
Адекватность УРС  $\alpha$ -Fe фазы железа обсуждалась в работе [Молодец, Голышев, 2021]. На рис. 4 представлены расчеты 1 и 4 для  $\epsilon$ -Fe, полученные с использованием (2) и данных таблицы. Как видно, наши расчеты для  $\epsilon$ -Fe также удовлетворительно согласуются с экспериментальными данными как при статическом [Mao et al., 1990; Dewaele et al., 2006], так и при ударно-волновом сжатии [Brown et al., 2000].

## МОДЕЛИРОВАНИЕ ТЕРМОДИНАМИЧЕСКОГО СОСТОЯНИЯ И ОБЪЕМНО-ТЕМПЕРАТУРНОЙ ЗАВИСИМОСТИ ЭЛЕКТРОСОПРОТИВЛЕНИЯ $\epsilon$ -Fe ЖЕЛЕЗА В ПРОВЕДЕНИХ ЭКСПЕРИМЕНТАХ

Разработанные УРС фаз железа позволяют рассчитывать термодинамические свойства же-

леза в обширных областях его фазовой диаграммы и моделировать термодинамическое состояние железных образцов в проведенных экспериментах. Так, на рис. 5 представлена рассчитанная с использованием (2) и табл. 1 линия равновесия 1 между  $\alpha$ -Fe и  $\epsilon$ -Fe фазами железа, а также температура 2 вдоль ударной адиабаты однократного сжатия  $\epsilon$ -Fe фазы железа.

Моделирование термодинамического состояния железных образцов в проведенных экспериментах осуществлялось в программе СТАГ для ЭВМ [Ким, Молодец, 2016]. Эта программа позволяет рассчитывать волновые взаимодействия и термодинамические состояния в форме профилей давления  $P(t)$ , температуры  $T(t)$  и объема  $V(t)$  для выбранных лагранжевых частиц ударника и каждого слоя многослойных мишеней рис. 1а при одномерном ударном нагружении. Теплообмен между слоями мишени в программе СТАГ не предусмотрен. Расчет профилей давления  $P(t)$ , температуры  $T(t)$  и объема  $V(t)$  в программе СТАГ производился с использованием авторских уравнений состояния материалов экспериментальной сборки. Поскольку ширина железного образца  $q \approx 1$  мм на порядок больше его толщины  $h_0 \approx 0.05$  мм, то в гидрокоде образец моделировался пластиной с начальной толщиной  $h_0$ . Для железа использо-



**Рис. 6.** Модельные профили температуры и удельного объема при ступенчатом ударно-волновом нагружении \$\epsilon\$-Fe железного образца и тefлонового окружения. (а) – Профили температуры: 1 – профиль температуры в середине \$\epsilon\$-Fe железного образца толщиной 60 мкм; 2 – профиль температуры в тefлоновой пленке перед образцом на расстоянии 30 мкм от поверхности образца; 3 – профиль температуры в тefлоновой пленке за образцом на расстоянии 30 мкм от поверхности образца; (б) – профиль удельного объема в середине \$\epsilon\$-Fe железного образца толщиной 60 мкм.

вались УРС, приведенные выше, для нержавеющей стали УРС взято из работы [Молодец, 2015], для тefлона – из работы [Молодец и др., 2013].

Остановимся здесь на приемлемости расчета температуры ударно-сжимаемого образца в окружении ударно-разогретого изолятора. На рис. 6а показан модельный профиль температуры \$T(t)\$ 1 для середины \$\epsilon\$-Fe железного образца. На этом же рисунке приведены расчетные профили температур 2 и 3 в “мягком” изоляторе соответственно перед и после образца. Как видно, при ударном сжатии “мягкий” изолятор разогревается существенно больше, чем “жесткий” образец. Иными словами, в проведенных экспериментах пластина железного образца оказывается зажатой между двух горячих слоев изолирующего тefлона. Поэтому очевидно, что пренебрежение теплообменом между образцом и изолятором приемлемо лишь при условии, что время эксперимента гораздо меньше времени разогрева \$\tau\$ пластинчатого железного образца до температуры \$T\_\tau\$ окружающего изолятора. Рассчитаем \$\tau\$, воспользовавшись общезвестной формулой для оценки \$\tau\$ по порядку величины:

$$\tau \sim \frac{\delta^2}{a}. \quad (7)$$

В (7) \$\delta\$ – половина толщины пластины, \$a = V k / C\_p\$ – коэффициент температуропроводности, где: \$V\$ – удельный объем; \$k\$ – коэффициент теплопроводности; \$C\_p\$ – изобарная теплоемкость. Оценку по (7) проведем с учетом изменения толщины пластины \$\delta = 0.5 h\_0 (V/V\_0)\$, удельного объема \$V = V(t\_{\max})\$ и теплофизических свойств железа в условиях проведенного эксперимента при значениях давления \$P\_{\max} = 67\$ ГПа в момент \$t\_{\max}\$. Соответствующие значения составили \$V = 5.691 \text{ см}^3/\text{моль}\$ (см. профиль 1 на рис. 6б), \$V\_{0\alpha} = 7.093 \text{ см}^3/\text{моль}\$, \$\delta = 24 \text{ мкм}\$, \$C\_p = 25.81 \text{ Дж}/\text{мольК}\$. Для значения \$T\_\tau\$ принята величина \$T\_\tau = T\_\tau(t\_{\max}) = 1375 \text{ К}\$, равная температуре тefлона за образцом (см. профиль 3 на рис. 6а). Для значения \$k\$ принята величина коэффициента теплопроводности, разогретого до 1375 К \$\epsilon\$-Fe железа при давлении 53 ГПа из работы [Hasegawa, 2019] равная \$k = 47 \text{ Вт}/(\text{мК})\$. Перечисленные величины дают оценку \$\tau \sim 56 \text{ мкс}\$, что гораздо больше времени проведенного эксперимента, составляющей \$\approx 1 \text{ мкс}\$. Таким образом, соотношение между временем разогрева образца и временем проведенного эксперимента позволяет пренебречь теплообменом между образцом и изолятором и использовать получаемые профили температуры при анализе и моделировании полу-

**Таблица 1.** Параметры для свободной энергии (2) для  $\alpha$ -Fe [Молодец, Голышев, 2021] и для  $\epsilon$ -Fe фаз железа

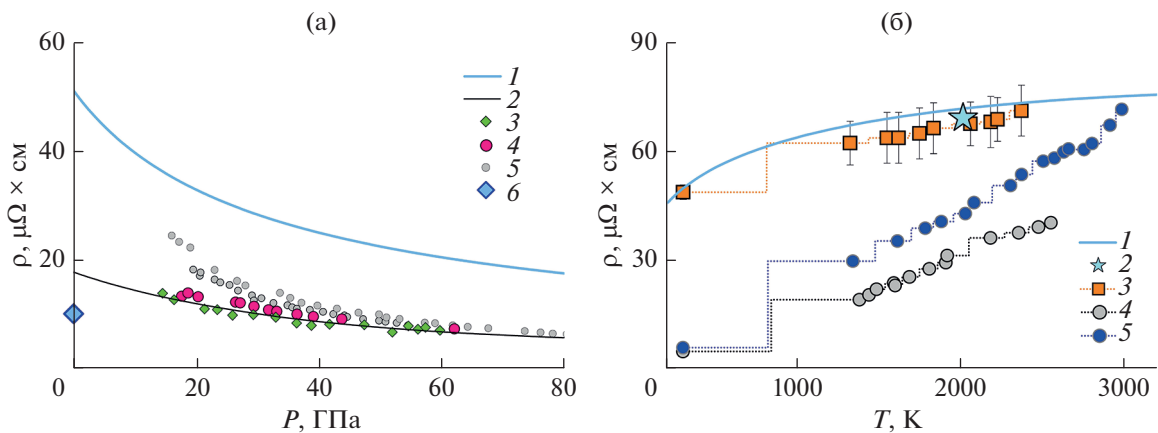
Фаза	$V_0$ , см <sup>3</sup> /моль	$\Theta_0$ , К	$v_0$ , см <sup>3</sup> /моль	$v_x$ , см <sup>3</sup> /моль	$C_1$ , ГПа	$C_2$ , ГПа	$C_3$ , кДж/г	$E_m$ , кДж/г
$\alpha$ -Fe	7.093	279.8	21.092	21.02	-144.5188	2971.046	-572.4635	0.0
$\epsilon$ -Fe	6.76 <sup>b</sup>	262.1	17.949	13.858	-724.8081	15070.4575	-1876.6370	0.8127

ченных экспериментальных данных для  $\epsilon$ -Fe железа при ступенчатом ударном сжатии.

На рис. 6а показан модельный профиль 1 температуры  $T(t)$  для середины  $\epsilon$ -Fe железного образца. Пример расчетного профиля давления  $P(t)$   $\epsilon$ -Fe железа приведен выше на рис. 3а. Исключение времени из профилей  $P(t)$  и  $T(t)$  дают фазовую траекторию образца в координатах давление–температура, которая показана на рис. 5 графиком 3 и очерчивает область на фазовой диаграмме железа, в которой проведены измерения электросопротивления  $\epsilon$ -железа в условиях ступенчатого ударного сжатия. Эту область можно охарактеризовать давлениями  $\approx 20$ –70 ГПа и температурами  $\approx 750$ –950 К. Как видно на рис. 3 фазовая траектория ступенчатого ударного сжатия 3 существенно отлична от ударной адиабаты однократного ударного сжатия  $\epsilon$ -железа 2.

Рассчитанные профили температуры  $T = T(t)$  и объема  $V = V(t)$  использовались также для моделирования профиля электросопротивления образца  $R = R(t)$  вдоль фазовой траектории ступенчатого ударного сжатия согласно формуле:

$$R = R_{0\alpha} \left( \frac{\rho(T, V)}{\rho_{0\alpha}} \right) \left( \frac{V_{0\alpha}}{V} \right). \quad (8)$$



**Рис. 7.** Зависимость удельного электросопротивления  $\rho$  сжатого и разогретого  $\epsilon$ -Fe железа от давления  $P$  и температуры  $T$ . (а): 1 – комнатная изотерма (9); 2 – подгоночная изотерма из работы [Seagle et al., 2013]; 3, 4, 5 – экспериментальные результаты соответственно из работ [Seagle et al., 2013; Zhang et al., 2020; Gomi et al., 2013]; 6 – начальное электросопротивление исследованных образцов железа АРМКО при комнатной температуре и атмосферном давлении; (б) – изобары при давлении 105 ГПа: 1 – расчётная изобара  $\epsilon$ -Fe железа (9); 2 – ударно-волновой эксперимент [Bi et al., 2002]; 3 – экспериментальная изобара сплава  $\epsilon$ -Fe железа с 4.3%Si из работы [Zhang et al., 2022]; 4 и 5 – экспериментальные изобары  $\epsilon$ -Fe железа из работ [Ohta et al., 2016; Zhang et al., 2020], пунктирные линии – горизонтальный сплайн по точкам без учета разброса.

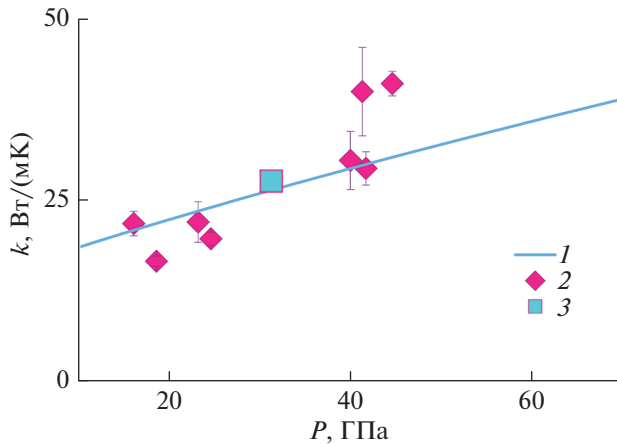


Рис. 8. Зависимость коэффициента теплопроводности  $k$  (11) от давления  $P$  для  $\epsilon$ -Fe железа при постоянной температуре  $T = 300$  К: 1 – комнатная изотерма (11); 2 – экспериментальные результаты из работы [Ohta et al., 2018]; 3 – средняя точка данных [Ohta et al., 2018].

метры  $v_0$  и  $V_0$  являются одновременно и параметрами, задающими объемную зависимость характеристической температуры в формуле (3). Для  $\epsilon$ -Fe параметры  $v_0$  и  $V_0$  брались из таблицы. Значение начального удельного электросопротивления  $\rho_0$  при комнатной температуре и атмосферном давлении принято равным  $\rho_0 = 51.0 \mu\text{Ом} \cdot \text{см}$  для метастабильного  $\epsilon$ -Fe железа из работы [Gomi et al., 2013].

Заметим далее, что в интервале времен  $t_{\max} < t < t_{\epsilon\alpha}$  (см. рис. 6) зависимость температуры от объема  $T = T(V)$  можно аппроксимировать монотонной квадратичной функцией  $T(V) = A + BV + CV^2$  и стандартным образом определить коэффициенты  $A$ ,  $B$ ,  $C$ . Например, для конкретных модельных профилей рис. 6  $A = 3383.3$  К,  $B = -626.16$  К/(см $^3$ /г),  $C = 33.21$  К/(см $^3$ /г) $^2$ . Эта возможность и соотношение (8) позволяют записать модельное соотношение для профиля электросопротивления образца  $R = R(t)$  (8) как

$$R = R_0 \left( \frac{\rho_0}{\rho_{0\alpha}} \right) \left( \frac{T(V)}{T_0} \right)^\alpha \left( \frac{V}{V_0} \right)^{n/3} \left( \frac{v_0 - V}{v_0 - V_0} \right)^{-2n} \left( \frac{V_{0\alpha}}{V} \right). \quad (10)$$

Итак, в интервале времен  $t_{\max} < t < t_{\epsilon\alpha}$  модельное соотношение (10) для объемно-температурной зависимости электросопротивления образца  $R = R(t)$  вдоль фазовой траектории ступенчатого ударного сжатия может быть представлено полуэмпирической функцией объема, содержащей один заранее заданный параметр  $\rho_0 = 51.0 \mu\text{Ом} \cdot \text{см}$  и два подгоночных параметра:  $\alpha$ , и  $n$ . Параметры  $\alpha$ , и  $n$  находятся методом наименьших квадратов исходя из требования наилучшего совпадения модельного профиля (10) и экспериментального

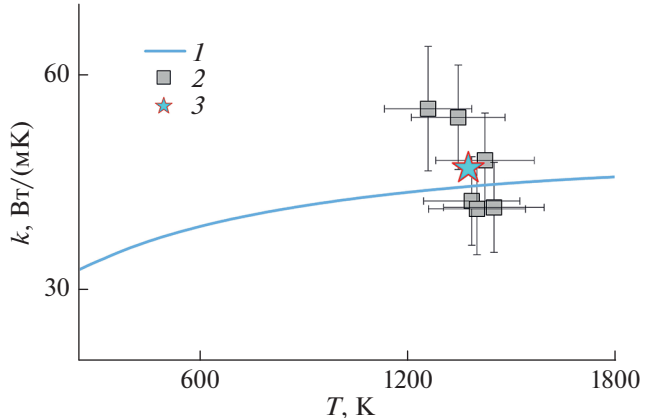


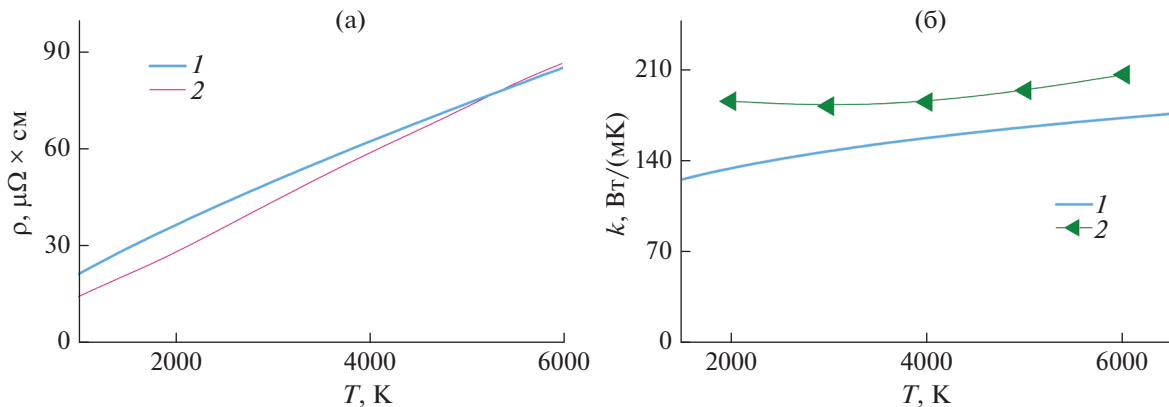
Рис. 9. Зависимость коэффициента теплопроводности  $k$  (11) от температуры  $T$  для  $\epsilon$ -Fe железа при постоянном давлении  $P = 53$  ГПа: 1 – изобара (11); 2 – экспериментальные результаты из работы [Hasegawa et al., 2019] в диапазоне 1200–1500 К; 3 – средняя точка данных [Hasegawa et al., 2019].

профиля  $R = R(t)$ . На рис. 3б показано удовлетворительное согласие экспериментального 1 и модельного 3 профилей электросопротивления образца при разгрузке в интервале времен  $t_{\max} < t < t_{\epsilon\alpha}$ . При этом значения определяющих параметров  $\alpha$ ,  $n$  и коэффициента детерминации  $R^2$  оказались следующими:  $\alpha = 0.77(1)$ ,  $n = 3.25(10)$  и  $R^2 = 0.977$ .

Таким образом, разработанные уравнения состояния  $\epsilon$ -Fe железа вместе с определяющим соотношением для объемно-температурной зависимости электросопротивления позволяют моделировать электрофизический ударно-волновой эксперимент и определять “температурный”  $\alpha$  и “объемный”  $n$  параметры, характеризующие объемно-температурную зависимость  $\rho = \rho(T, V)$  удельного электросопротивления  $\epsilon$ -Fe железа при его ступенчатом ударном нагружении в диапазоне давлений ~20–70 ГПа и температур ~750–950 К. Соответственно определяющее соотношение (9) с найденными коэффициентами представляет собой экспериментально-расчетные данные об электрофизических свойствах  $\epsilon$ -Fe железа в условиях ступенчатого ударно-волнового нагружения.

## ОБСУЖДЕНИЕ РЕЗУЛЬТАТОВ

Отметим, что использование значений  $\rho_0 = 51.0 \mu\text{Ом} \cdot \text{см}$ ,  $\alpha = 0.77(1)$ ,  $n = 3.25(10)$  для  $\epsilon$ -Fe железа, найденных по экспериментальным данным в области разгрузки, дают приемлемые результаты и в области сжатия  $\epsilon$ -Fe железа. Действительно, экспериментальный 1 и модельный 3 профили на рис. 3б, согласуются между собой не только в интервале времен  $t_{\max} < t < t_{\epsilon\alpha}$ , когда давление уменьшается, но и в области  $t_{0\epsilon} < t < t_{\max}$ , ко-



**Рис. 10.** Экстраполяция зависимостей электросопротивления  $\rho$  (а) и теплопроводности  $k$  (б) от температуры  $T$  в область давлений 300 ГПа. (а): 1 – изохора (9), 2 – расчетная температурная зависимость удельного электросопротивления  $\epsilon$ -Fe железа с учетом эффекта насыщения [Xu et al., 2018]; (б): 1 – изохора (11), 2 – расчетная температурная зависимость коэффициента теплопроводности  $\epsilon$ -Fe железа с учетом эффекта насыщения [Xu et al., 2018].

гда давление возрастает от значения  $P_{0e}$  до  $P_{\max}$ . Это свидетельствует в пользу того, что модельное соотношение (9) с найденными параметрами  $\alpha$  и  $n$  для объемно температурной зависимости удельной электропроводности  $\epsilon$ -Fe железа адекватно экспериментальным ударно-волновым данным в исследованной области давлений  $\sim 20$ – $70$  ГПа и температур  $\sim 750$ – $950$  К как при сжатии, так и при разгрузке.

Сопоставим электрофизические свойства  $\epsilon$ -Fe железа в условиях ударного сжатия и в условиях высоких статических давлений. Для этого воспользуемся разработанным выше уравнением состояния и рассчитаем изотермы и изобары объемно-температурной зависимости (9) для  $\epsilon$ -Fe железа.

На рис. 7а цифрой 1 обозначена изотерма (9) при температуре 300 К в координатах давление–удельное электросопротивление до 80 ГПа. На рис. 7а приведена также модельная комнатная изотерма 2 из работы [Seagle et al., 2013] для экспериментальных точек 3. Как видно, график 1 располагается существенно выше графика 2. Формальная причина этого различия заключается главным образом в следующем. Несмотря на то, что смысл основных параметров  $\rho_0$ ,  $a$ ,  $n$  модельных соотношений для  $\rho = \rho(T, I)$  в работе [Seagle et al., 2013] и в формуле (9) одинаков, процедуры нахождения этих параметров для (9) и в работе [Seagle et al., 2013] различны. В работе [Seagle et al., 2013] заранее полагалось  $a = \text{const} = 1$ , а подгоночными были  $\rho_0$  и  $n$ . Как отмечалось выше, в нашей работе постоянным считался параметр  $\rho_0 = \text{const} = 51.0 \mu\Omega \cdot \text{см}$ , а подгоночными были  $a$  и  $n$ . Мы предпочли свой вариант в связи с тем, что значение  $\rho_0 = 51.0 \mu\Omega \cdot \text{см}$  имеет экспериментальное обоснование для  $\epsilon$ -Fe железа при нулевом давлении (см. [Gomi et al., 2013]).

На рис. 7а также представлены гидростатические экспериментальные комнатные изотермы 4 [Zhang et al., 2020] и 5 [Gomi et al., 2013]. Как видно в диапазоне давлений 20–80 ГПа наша комнатная изотерма 1, превышает литературные данные 3, 4, 5 на  $10$ – $20 \mu\Omega \cdot \text{см}$ . Очевидно, это различие может быть частично истолковано на основе общепринятых представлений. Действительно, как хорошо известно, ударные волны генерируют значительную плотность дефектов кристаллической решетки, что приводит к увеличению удельного электросопротивления ударно-сжатого поликристалла.

Обсудим соотношение полученных результатов с литературными данными при высоких давлениях и температурах ударно-волнового и гидростатического сжатия вдоль изобар высокого давления. На рис. 7б графиком 1 показана расчетная изобара соотношения (9) для  $\epsilon$ -Fe железа при давлении 105 ГПа в диапазоне температур 250–3000 К. Ее сопоставление с ударно-волновыми данными из работы [Keeler, Mitchel, 1969] затруднительно, поскольку в этой работе не указаны значения температур и объемов. В отличие от этого в работе [Bi et al., 2002] для двух состояний (101 ГПа; 2010 К) и (208 ГПа; 5220 К) ударно-сжатого  $\epsilon$ -Fe железа приведены значения удельного электросопротивления  $68.9 \mu\Omega \cdot \text{см}$  и  $130.7 \mu\Omega \cdot \text{см}$  соответственно. Первая точка [Bi et al., 2002] обозначена на рис. 7б цифрой 2. Как видно, результаты 1 и 2 практически совпадают. Вторая точка отличается от расчетов по (9) на 20%. Таким образом, в целом согласие наших результатов и результатов [Bi et al., 2002] можно считать удовлетворительным. Отметим для дальнейшего, что результаты 1 и 2 на рис. 7б, совпадая между собой, совпадают и с изобарой 3 разогретого сплава железа с кремнием Fe4.3%Si.

На рис. 7б представлены статические экспериментальные изобары  $\epsilon$ -Fe железа 4 [Ohta et al., 2016] и 5 [Zhang et al., 2020]. Как и для изотерм, наша изобара 1 располагается существенно выше экспериментальных изобар  $\epsilon$ -Fe железа — здесь различия достигают  $30 \mu\text{Ом} \cdot \text{см}$ . Это рассогласование между полученными и литературными гидростатическими данными можно было бы отнести на счет незамеченных паразитных эффектов используемой ударно-волновой методики. Вместе с тем представляется, что список возможных методических ошибок, (шунтирование, теплопроводность, скин-эффект, реакция железа с разогретым изолятором) исчерпан выше и не поддерживает это объяснение. Поэтому не исключено, что взаиморасположение всех изотерм рис. 7а и изобар на рис. 7б обусловлено тем, что ударно-сжатое  $\epsilon$ -Fe железа оказывается в некоем состоянии, в котором его электрофизические свойства отличаются от статически сжатого чистого  $\epsilon$ -Fe железа и приближаются к электрофизическим свойствам сжатого и разогретого сплава железа с кремнием Fe4.3%Si. Однако очевидно, что это объяснение всего лишь рабочая гипотеза, требующая дополнительной аргументации и проверки.

Оценим теперь объемно-температурную зависимость коэффициента теплопроводности ударно-сжатого  $\epsilon$ -Fe железа. Воспользуемся снова соотношением (9) в паре с разработанным выше уравнением состояния и сопоставим расчетные значения теплофизических свойств ударно-сжатого  $\epsilon$ -Fe железа с литературными данными при высоких статических давлениях.

Для этого рассчитаем барическую зависимость теплопроводности  $k = k(V, T)$   $\epsilon$ -Fe железа вдоль комнатной изотермы, воспользовавшись законом Видемана–Франца:

$$k = L \frac{T}{\rho(V, T)}, \quad (11)$$

где  $L = 2.45 \times 10^{-8}$  ВтОм;  $K^2$  — постоянная Лоренца;  $\rho(V, T)$  — объемно-температурная зависимость удельного электросопротивления (9)  $\epsilon$ -Fe железа с определенными выше коэффициентами  $\rho_0$ ,  $\alpha$  и  $n$ . На рис. 8 цифрой 1 обозначен график (11), полученный при температуре  $T = \text{const} = 300$  К. На этом же рисунке ромбами 2 приведены экспериментальные значения коэффициента теплопроводности поликристаллического  $\epsilon$ -Fe железа, скопированные с рис. 10 работы [Ohta et al., 2018]. Как видно, график 1 удовлетворительно согласуется со статическим экспериментом, проходя через среднюю точку 3 данных [Ohta et al., 2018].

Рассмотрим теперь изобару коэффициента теплопроводности при высоком давлении. На рис. 9 представлена изобара 1, в виде графика (11) при давлении 53 ГПа на фоне экспериментальных точек, полученных при статическом сжатии в рабо-

те [Hasegawa et al., 2019] в диапазоне температур 1200–1500 К при этом же давлении. Здесь также наши ударно-волновые данные 1 непротиворечиво соотносятся с экспериментальными точками [Hasegawa et al., 2019], практически пересекая их среднюю точку 3.

Таким образом, модельные расчеты коэффициента теплопроводности  $\epsilon$ -Fe железа в высоко дефектном ударно-сжатом состоянии, проведенные с использованием закона Видемана–Франца и теоретического значения числа Лоренца удовлетворительно согласуются со статическим экспериментом.

Наконец, рассмотрим алгебраические вычисления по формулам (9) и (11) для  $\epsilon$ -Fe железа при постоянном значении объема в области экстраполяции к более высоким давлениям. Например, зафиксируем удельный объем в этих формулах величиной  $V = \text{const} = V_i = 4.282 \text{ см}^3/\text{моль}$  и построим изохоры (9) и (11) в диапазоне температур  $T = 1000$ –6000 К. Согласно построенному выше уравнению состояния  $\epsilon$ -Fe железа диапазон давлений  $P_i = P(V_i, T)$  составит интервал 256–297 ГПа, в который попадает давление на границе внутреннего ядра Земли. Полученные графики  $\rho = \rho(T, V_i)$  и  $k = k(T, V_i)$  обозначены цифрой 1 на рис. 10а и 10б соответственно.

На этих же рис. 10а и 10б представлены результаты фундаментальных расчетов [Xu et al., 2018] температурной зависимости  $\rho = \rho(T, V_i)$  и  $k = k(T, V_i)$  с использованием метода теории функционала плотности 2. Как видно графики 1 и 2 разумно согласуются между собой качественно и количественно. Наилучшее совпадение 1 и 2 наблюдается в диапазоне температур 4000–6000, где отличия не превышают 5% для  $\rho = \rho(T, V_i)$  и 20% для  $k = k(T, V_i)$ .

## ЗАКЛЮЧЕНИЕ

Измерено электросопротивление образцов железа с гексагональной плотноупакованной решеткой ( $\epsilon$ -Fe) в условиях специфического режима нагружения, состоящего из ступенчато-циклической фазы сжатия и последующей фазы плавного уменьшения давления. Измерения выполнены в области фазовой диаграммы железа при давлениях  $\approx 20$ –70 ГПа и температурах  $\approx 750$ –950 К.

Рассмотрена величина осложняющих эффектов при измерении электросопротивления ударно-сжимаемых железных образцов, обусловленных проводимостью изоляционной среды, скин-эффектом, а также разогревом образца окружающим горячим изолятором.

Разработаны уравнения состояния  $\epsilon$ -Fe железа, которые вместе с определяющим соотношением

для объемно-температурной зависимости электросопротивления позволяют моделировать электрофизический ударно-волновой эксперимент, переходить от электросопротивления образцов к удельным величинам и определять параметры, характеризующие объемно-температурную зависимость удельного электросопротивления  $\epsilon$ -Fe железа при его ступенчатом ударном нагружении и последующей разгрузке.

Сопоставлены объемно-температурные зависимости удельного электросопротивления  $\epsilon$ -Fe железа в условиях высоких статических и динамических давлений. Показано, что в диапазоне давлений 20–70 ГПа ударно-волновые электрофизические данные превышают экспериментальные литературные статические данные на 10–30  $\mu\text{Ом} \cdot \text{см}$ .

Установлено различие электрофизическими свойств  $\epsilon$ -Fe железа при статическом и ударном сжатии и подобие электрофизическими свойств ударно-сжатого  $\epsilon$ -Fe железа с электрофизическими свойствами статически сжатого и разогретого кремнистого железа.

Выполнены расчеты объемно-температурной зависимости коэффициента теплопроводности  $\epsilon$ -Fe с использованием закона Видемана–Франца для описания теплофизических свойств  $\epsilon$ -Fe при высоких динамических давлениях и проведено сравнение расчетных значений теплофизических свойства ударно-сжатого  $\epsilon$ -Fe железа с литературными данными при высоких статических давлениях. Показано, что в диапазоне давлений 20–50 ГПа барическая зависимость коэффициента теплопроводности вдоль комнатной изотермы удовлетворительно согласуется со статическим экспериментом. Показано также, что расчетные значения коэффициента теплопроводности в диапазоне температур 1200–1500 К непротиворечиво соотносятся с экспериментальными точками вдоль изобары 53 ГПа.

Экстраполяция найденных объемно-температурных зависимостей электросопротивления и теплопроводности  $\epsilon$ -Fe железа в область давлений 300 ГПа разумно согласуется с литературными теоретическими результатами по электро- и теплопроводности железа.

## ФИНАНСИРОВАНИЕ РАБОТЫ

Работа выполнена при финансовой поддержке Министерства науки и высшего образования РФ (соглашение с ОИВТ РАН № 075-15-2020-785 от 23 сентября 2020 г.).

## СПИСОК ЛИТЕРАТУРЫ

*Агадуров Г.А.* Экспериментальное исследование химических процессов в условиях динамического сжатия // Успехи химии. 1986. Т. 55. Вып. 4. С. 555–578.

*Голышев А.А., Молодец А.М.* Электросопротивление полимерной изоляции в мегабарном диапазоне давлений ударного сжатия // Физика горения и взрыва. 2013. Т. 49. № 2. С. 106–112.

*Ким В.В., Молодец А.М.* Программа для расчета волновых взаимодействий и термодинамического состояния многослойных мишеней при одномерном ударном нагружении СТАГ. Свидетельство о государственной регистрации программы для ЭВМ № 2016616914. 22.06.2016 г.

*Молодец А.М., Шахрай Д.В., Савиных А.С., Голышев А.А., Ким В.В.* Уравнения состояния политетрафторэтилена для расчета его ударного сжатия в мегабарном диапазоне давлений // Физика горения и взрыва. 2013. Т. 49. № 6. С. 121–129.

*Молодец А.М.* Температурная зависимость откольной прочности и уравнение состояния аустенитной хромоникелевой стали 18–10 // Физика твердого тела. 2015. Т. 57. Вып. 10. С. 1992–1997.

*Молодец А.М.* Уравнения состояния мусковита при высоких давлениях и температурах // Физика Земли. 2022. № 1. С. 130–139.

*Молодец А.М., Шахрай Д.В., Голышев А.А.* Полуэмпирическое описание теплофизических свойств дейтерида лития при высоких давлениях и температурах // Теплофизика высоких температур. 2017. Т. 55. № 4. С. 523–527.

*Молодец А.М., Голышев А.А.* Объемно-температурная зависимость электро- и теплофизических свойств  $\alpha$ -железа при высоких давлениях и температурах // Журн. технической физики. 2021 Т. 91. Вып. 9. С. 1403–408.

*Молодец А.М., Голышев А.А., Емельянов А.Н., Козлов А.А.* Магнитные превращения и полиморфный переход // Журн. технической физики. 2021. Т. 91. Вып. 5. С. 803–807.

*Bi Y., Tan H., Jing F.* Electrical Conductivity of Iron under ShockCompression up to 200 GPa // J. Phys.: Condensed Matter. 2002. V. 14(44). P. 10849–10854.

*Brown J.M., Fritz J.N., Hixson R.S.* Hugoniot data for iron // J. Applied Physics. 2000. V. 88. № 9. P. 5496–5498.

*Dewaele A., Loubeyre P., Occelli F., Mezouar M., Dorogokupets P. I., Torrent M.* Quasihydrostatic Equation of State of Iron above 2 Mbar // Phys. Rev. Lett. 2006. V. 97. P. 215504.

*Gomi H., Ohta K., Hirose K., Labrosse S., Caracas R., Verstraete M.J., Hernlund J.W.* The high conductivity of iron and thermal evolution of the Earth's core // Physics of the Earth and Planetary Interiors. 2013. V. 224. P. 88–103.

*Grant S.C., Ao T., Seagle C.T., Porwitzky A.J., Davis J.-P., Cochrane K.R., Dolan D.H., Lin J.-F., Ditmire T., Bernstein A.C.* Equation of state measurements on iron near the melting curve at planetary core conditions by shock and ramp compressions // J. Geophysical Research: Solid Earth. 2021. V. 126. № 3. P. e2020JB020008.

*Hasegawa A., Yagi T., Ohta K.* Combination of pulsed light heating thermoreflectance and laserheated diamond anvil cell for in-situ high pressure-temperature thermal diffusivity measurements // Rev. Sci. Instrum. 2019. V. 90. P. 074901(1-8).

- Johnson P.C., Stein B.A., Davis R.S.* Temperature dependence of the shock induced transformation in iron // *J. Appl. Phys.* 1962. V. 33. P. 557–560.
- Keeler R.N., Mitchel A.C.* Electrical conductivity, demagnetization, and the high-pressure phase transition in shock-compressed Iron // *Solid State Communications*. 1969. V. 7. P. 271–274.
- Kerley G.I.* Multiphase equation of state for iron. Tech. Rep. SAND93-0027. Sandia 613 National Laboratories. Albuquerque. NM. 1993.
- Mao H.-K., Wu Y., Chen L.C., Shu J.F., Jephcoat A.P.* Static Compression of Iron to 300 GPa and  $\text{Fe}_{0.8}\text{Ni}_{0.2}$  Alloy to 260 GPa: Implications for Compression of the Core // *J. Geophysical Research*. 1990. V. 95. № B13. P. 21.737–21.742.
- Ohta K., Nishihara Y., Sato Y., Hirose K., Takashi Yagi T., Saori I., Kawaguchi S.I., Hirao N., Ohishi Y.* An Experimental Examination of Thermal Conductivity Anisotropy in hcp Iron // *Frontiers in Earth Science*. 2018. V. 6. Article 176.
- Seagle C.T., Cottrell E., Fei Y., Hummer D.R., Prakapenka V.B.* Electrical and thermal transport properties of iron and iron-silicon alloy at high pressure // *Geophys. Res. Lett.* 2013. V. 40. P. 5377–5381.
- Vocadlo L.* Mineralogy of the Earth – The Earth's core: Iron and iron alloys. Treatise on Geophysics. Mineral Physics / G.D. Price (ed.). Oxford: Elsevier. 2007. V. 2. P. 91–120.
- Xu J., Zhang P., Haule K., Minar J., Wimmer S., Ebert H., Cohen R.E.* Thermal Conductivity and Electrical Resistivity of Solid Iron at Earth's Core Conditions from First Principles // *Physical Review Letters*. 2018. V. 121. P. 096601(1–6).
- Zhang Y., Hou M., Liu G., Zhang Ch., Prakapenka V.B., Greenberg E., Fei Y., Cohen R.E., Lin J.F.* Reconciliation of Experiments and Theory on Transport Properties of Iron and the Geodynamo // *Physical Review Letters*. 2020. V. 125. P. 078501(1–7).
- Жарков В.Н.* Физика земных недр. М.: ООО “Наука и образование”. 2012. 384 с.
- Hirose K., Wood B., Vočadlo L.* Light elements in the Earth's core // *Nature Reviews. Earth & Environment*. 2021. V. 2. P. 645–657.
- Zhang Y., Luo K., Hou M., Driscoll P., Salke N.P., Minar J., Prakapenka V. B., Greenberg E., Hemley R.J., Cohen R.E., Lin J.F.* Thermal conductivity of Fe-Si alloys and thermal stratification in Earth's core // *PNAS*. 2022. V. 119. No. 1. P. 2119001119.
- Ohta K., Kuwayama Y., Hirose K., Shimizu K., Ohishi Y.* Experimental determination of the electrical resistivity of iron at Earth's core conditions // *Nature*. 2016. V. 534. P. 95–98.
- Yang F., Hu X., and Fei Y.* In situ measurements of electrical resistivity of metals in a cubic multi-anvil apparatus by van der Pauw method // *Rev. Sci. Instrum.* 2022. V. 93. P. 053902(1–7).
- Набатов С.С., Дрёмин А.Н., Постнов В.И., Якушев В.В.* Измерением электропроводности серы при сверхвысоких динамических давлениях // *Письма в ЖЭТФ*. 1979. Т. 29. вып. 7. С. 407–410.
- Basu A., Field M.R., McCulloch D.G., Boehler R.* New measurement of melting and thermal conductivity of iron close to outer core conditions // *Geoscience Frontiers*. 2020. V. 11. P. 565–568.

## ε-Fe Electrical Resistivity at High Pressures of Stepwise Shock Compression

A. M. Molodets<sup>a</sup>, \* and A. A. Golyshev<sup>a</sup>

<sup>a</sup>*Institute of Problems of Chemical Physics, Russian Academy of Sciences, Chernogolovka, 142432 Russia*

\*e-mail: molodets@icp.ac.ru

*In situ* electrical resistivity measurements are performed on samples of iron with a hexagonal close-packed lattice ( $\epsilon$ -Fe), compressed and heated by stepwise shock loading. Equations of state for  $\epsilon$ -Fe are constructed. The obtained experimental results are mathematically simulated in the hydrocode based on the developed equations of state. The modeling results are used to reconstruct the volumetric-temperature dependence of the  $\epsilon$ -Fe electrical resistivity at pressures of  $\approx$ 20–70 GPa and temperatures of  $\approx$ 750–950 K. The volume-temperature dependence of the  $\epsilon$ -Fe thermal conductivity coefficient is calculated according to the Wiedemann–Franz law. The results obtained for the electrical and thermal conductivity of shock compressed and heated  $\epsilon$ -Fe are compared with literature experimental and theoretical data for iron and silicon iron.

**Keywords:** iron, electrical conductivity, thermal conductivity, high pressures, equations of state, phase diagram, shock waves